

Autopsia Electoral ONPE 2026: Impacto de las Fallas Logísticas sobre el Ausentismo y los Resultados Electorales en Lima

Mathieu Rojas

16 de April de 2026

Resumen

Este trabajo estima el impacto causal de los retrasos en la apertura de mesas de sufragio durante las Elecciones Generales del Perú del 12 de abril de 2026 sobre el ausentismo electoral y sobre la contienda entre Rafael López Aliaga (Renovación Popular) y Roberto Sánchez (Juntos por el Perú). Utilizando un panel de 146,178 observaciones de mesas de sufragio para el período 2006–2026 con efectos fijos de distrito y año, encontramos que los retrasos mayores a dos horas generaron un incremento estadísticamente significativo en el ausentismo. Con el 90.3% de mesas de sufragio procesadas a la fecha, estimamos que **32,192** ciudadanos no pudieron ejercer su derecho al voto, con un impacto neto de **10,765** votos a favor de López Aliaga sobre Sánchez. Este resultado es robusto a distintas especificaciones y a supuestos alternativos sobre las preferencias de los votantes ausentes. Este análisis documenta las consecuencias medibles de una falla logística de responsabilidad comprobada que, en el contexto de una elección extremadamente reñida, pudo haber alterado el resultado final.

1. Introducción

El 12 de abril de 2026, las Elecciones Generales del Perú estuvieron marcadas por una falla logística de magnitud inédita en Lima Metropolitana y Callao. La empresa **Servicios Generales Galaga S.A.C.**, contratada por la ONPE para el transporte del material electoral, incumplió el cronograma de distribución: no proporcionó el número ni el tamaño de camiones requeridos, retrasando la carga durante toda la madrugada previa a la jornada. Como consecuencia, miles de mesas de sufragio no pudieron instalarse a las 7:00 a.m., hora oficial de apertura, y en casos extremos permanecieron cerradas hasta las 2:00 p.m., cuando el Jurado Nacional de Elecciones extendió el plazo máximo de instalación.

El contexto político hace que esta falla sea especialmente relevante. La contienda más reñida de la jornada fue la disputa por el segundo lugar, y por tanto por el pase a segunda vuelta, entre **Rafael López Aliaga** (Renovación Popular, RP) y **Roberto Sánchez** (Juntos por el Perú, JPP). López Aliaga es el candidato con mayor concentración de apoyo en Lima, donde obtuvo su mejor desempeño electoral. Las zonas afectadas por los retrasos, principalmente los distritos del sur y oeste de Lima, forman parte de su territorio electoral natural. Esta coincidencia geográfica genera una pregunta empírica precisa: ¿cuántos votos se perdieron por las fallas logísticas, y a quién habrían favorecido?

Este trabajo responde esa pregunta mediante un diseño de identificación basado en variación exógena. La decisión de qué zonas recibieron el material tarde fue determinada por el incum-

plimiento del proveedor, no por las características políticas de los distritos, lo que proporciona la variación cuasi-experimental necesaria para identificar el efecto causal del retraso sobre el ausentismo. Siguiendo la literatura sobre barreras al voto y participación electoral (Brady y McNulty, 2011; Haspel y Knotts, 2005; Cantoni, 2020), estimamos el incremento en el ausentismo producto del retraso mediante un spline cúbico restringido con efectos fijos de distrito y año, identificado sobre un panel de 146,178 observaciones de mesas de sufragio en Lima y Callao para el período 2006-2026.

Nota de cobertura: Este análisis se basa en 26,419 mesas de sufragio, equivalentes al **90.3 %** del total esperado para Lima y Callao (29,266). Los resultados se actualizan automáticamente conforme la ONPE publica nuevas actas digitales.

2. Contexto institucional y datos

2.1. La falla logística de Galaga

Según declaraciones del jefe de la ONPE, Piero Corvetto, el despliegue del material electoral se inició la noche del viernes 11 de abril desde una explanada en San Pedro, Lurín. El cronograma contemplaba dos turnos de entrega. Sin embargo, Servicios Generales Galaga S.A.C., empresa con antecedentes de incumplimientos en contratos estatales, que había solicitado los 400 camiones requeridos apenas una semana antes de la elección pese a haber sido contratada un mes antes, no proporcionó las unidades en el tamaño y cantidad acordados, retrasando la carga durante toda la madrugada.

El resultado fue que 3,295 mesas de sufragio (de las 26,419 con datos disponibles, equivalentes al 90.3 % del total) abrieron con más de dos horas de retraso. La distribución espacial del shock no fue aleatoria: los distritos más afectados se concentran en Lima Sur y Lima Oeste, corredores geográficos dependientes de los centros de acopio de la ONPE en Lurín.

2.2. Datos

Actas digitales STAE-ONPE 2026. El sistema STAE publica actas individuales por mesa de sufragio en formato PDF. Extrajimos de manera automatizada, mediante un scraper desarrollado para este trabajo: (i) el acta de instalación, que registra la hora exacta de apertura de cada mesa, y (ii) el acta de escrutinio, que consigna votos por candidato, total de votantes y electores hábiles. Se procesaron 26,419 mesas de Lima y Callao, representando el 90.3 % del universo esperado.

Panel histórico ONPE 2006–2021. Para identificar el nivel estructural de ausentismo en cada distrito, utilizamos datos de ausentismo a nivel de mesa para las elecciones generales de 2006, 2011, 2016 y 2021 en Lima y Callao, totalizando 119,759 observaciones históricas.

2.3. Cobertura parcial y sesgo de estimación

El análisis cubre actualmente el 90.3 % de las mesas esperadas. Las actas faltantes no se distribuyen aleatoriamente: se concentran en los distritos con mayores retrasos documentados, San Juan De Miraflores (420); Villa El Salvador (372); Lurin (201); Santiago De Surco (184), precisamente donde el shock logístico fue más severo. Esta concentración implica que las mesas faltantes tienen mayor probabilidad de presentar retrasos significativos y ausentismo inducido,

lo que sesga las estimaciones actuales hacia la subestimación. **Las cifras reportadas deben interpretarse como un límite inferior del impacto total.** El análisis se actualiza automáticamente conforme la ONPE incorpora nuevas actas.

Cuadro 1: Estadísticas descriptivas por categoría de retraso en apertura de mesa de sufragio

Categoría de retraso	Mesas	Retraso prom. (min)	Aus. observado	Aus. contrafactual	Vot. perdidos
A tiempo (15 min)	7633	4	19.6 %	19.4 %	0
Leve (16–60 min)	11101	36	20.3 %	19.7 %	0
Moderado (61–120 min)	4546	85	20.9 %	20.4 %	1,176
Severo (121–180 min)	1693	148	20.8 %	20.6 %	13,462
Muy severo (>180 min)	1446	235	22.7 %	20.2 %	17,554

3. Estrategia de identificación

3.1. Variación exógena y efectos fijos

La identificación causal descansa en dos elementos. Primero, el retraso en la apertura de mesas fue determinado por el incumplimiento de Galaga, un factor externo a las características políticas o socioeconómicas de los distritos afectados. Segundo, utilizamos un panel de cuatro elecciones históricas (2006–2021) para construir efectos fijos de distrito que absorben toda la heterogeneidad no observada entre distritos: cultura política local, infraestructura, composición demográfica y nivel estructural de participación electoral. Siguiendo la literatura sobre costos de votación (Brady y McNulty, 2011; Haspel y Knotts, 2005), el efecto del retraso se identifica comparando mesas del mismo distrito en 2026, las que recibieron el material tarde frente a las que lo recibieron a tiempo, luego de descontar las diferencias históricas entre distritos.

3.2. Especificación econométrica

Estimamos el siguiente modelo para cada mesa de sufragio i en el distrito d y el año t :

$$\text{Ausentismo}_{idt} = \alpha_d + \gamma_t + f(\text{Retraso}_{idt}) \cdot \mathbf{1}[t = 2026] + \varepsilon_{idt}$$

Donde α_d son efectos fijos de distrito, γ_t son efectos fijos de año, y $f(\cdot)$ es un **spline cúbico restringido** con nudos en 60, 120 y 180 minutos. El término de retraso es cero para todos los años anteriores a 2026, de modo que el efecto se identifica exclusivamente de la variación dentro de cada distrito en 2026.

La elección del spline sobre una especificación lineal responde a consideraciones teóricas y empíricas. Un ciudadano que encuentra su mesa cerrada a las 7:30 a.m. probablemente espera o regresa; uno que la encuentra cerrada a las 11:00 a.m. enfrenta una ventana de votación reducida a la mitad y mayores costos de oportunidad. El spline permite recuperar esta no-linealidad sin imponer ninguna forma funcional específica. Los errores estándar se clusteran a nivel de distrito y las observaciones se ponderan por número de electores hábiles.

Cuadro 2: Efecto del retraso en apertura sobre la tasa de ausentismo

	(1) Principal (1)	(2) Sin pesos (2)	(3) Solo 2026 (3)
0–60 min	-0.0041 (0.0097)	-0.0040 (0.0096)	0.0139 (0.0069)
60–120 min	0.0181 (0.0139)	0.0181 (0.0141)	0.0448* (0.0212)
120–180 min	0.0648*** (0.0177)	0.0650*** (0.0177)	0.0842** (0.0261)
>180 min	0.0721* (0.0293)	0.0719* (0.0292)	0.0814* (0.0358)
EF Distrito	Sí	Sí	Sí
EF Año	Sí	Sí	No
Ponderado	Sí	No	Sí
R ²	0.50564	0.52967	0.06895
Within R ²	0.00181	0.00172	0.01192
Observations	146,178	146,178	26,419
district fixed effects	✓	✓	✓
year_fct fixed effects	✓	✓	

4. Resultados

4.1. Estimaciones del modelo

El Cuadro ?? presenta los resultados de la estimación del modelo principal junto con dos especificaciones alternativas. La columna (1) corresponde al modelo principal ponderado por electores hábiles con efectos fijos de distrito y año. La columna (2) muestra que los resultados son cualitativamente idénticos sin ponderación. La columna (3) estima el modelo solo con datos de 2026, sin los efectos fijos de año identificados históricamente. En todas las especificaciones, los segmentos del spline correspondientes a retrasos mayores a dos horas son estadísticamente significativos y de magnitud similar, lo que confirma la robustez de los resultados.

Resultados al 16/04/2026 — 90.3% de mesas de sufragio procesadas

4.2. Efecto del retraso sobre el ausentismo

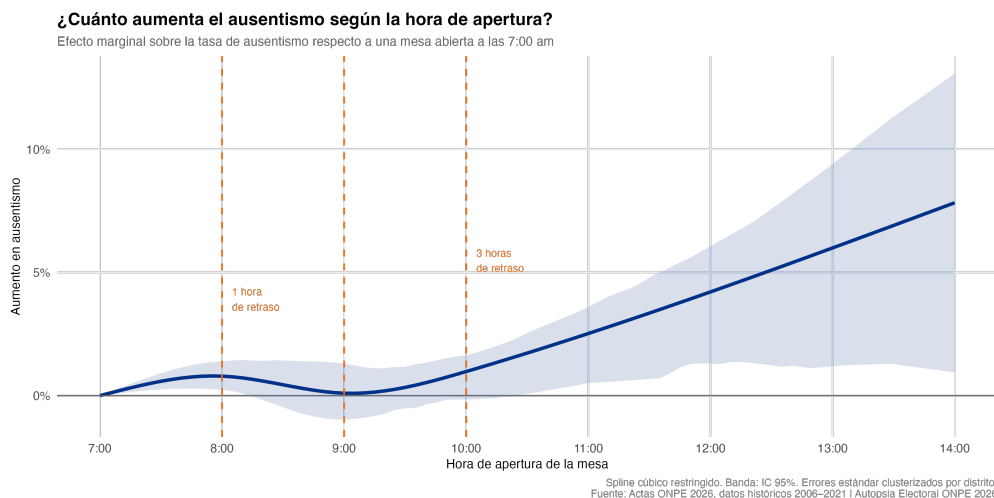


Figura 1: Efecto marginal estimado del retraso en apertura sobre la tasa de ausentismo, respecto a una mesa abierta a las 7:00 a.m. La banda representa el IC al 95% por bootstrap de clústeres. Basado en 26,419 mesas (90.3% del total esperado).

La Figura 1 presenta la curva de respuesta estimada. Los resultados muestran un patrón consistente con la intuición teórica: los retrasos menores a 60 minutos tienen efectos estadísticamente indistinguibles de cero. El efecto se vuelve significativo a partir de las dos horas de retraso y se acelera conforme avanza la mañana, coherente con modelos de costo de participación en los que el efecto disuasorio depende de la percepción de la ventana de tiempo disponible (Downs, 1957; Brady y McNulty, 2011). Una mesa que abrió a las 2:00 p.m. tuvo una tasa de ausentismo aproximadamente **7.8 puntos porcentuales** mayor de lo que habría tenido de abrir a tiempo.

Los coeficientes del spline son estadísticamente significativos ($p < 0.001$) para retrasos superiores a 120 minutos. Por esta razón, **solo imputamos votantes perdidos a las 3,295 mesas con retrasos de dos horas o más**. Este umbral, determinado por el dato, evita atribuir efectos causales donde no podemos rechazar la hipótesis nula.

4.3. Magnitud del ausentismo inducido

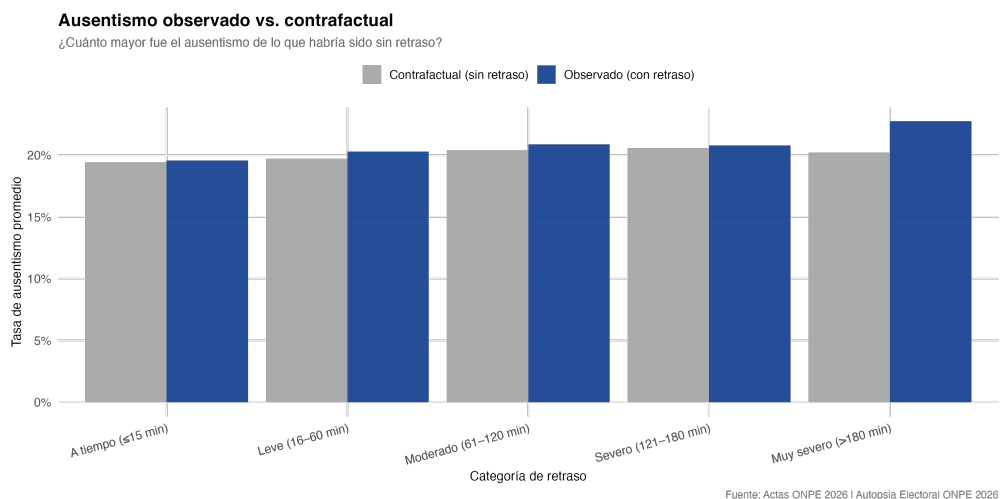
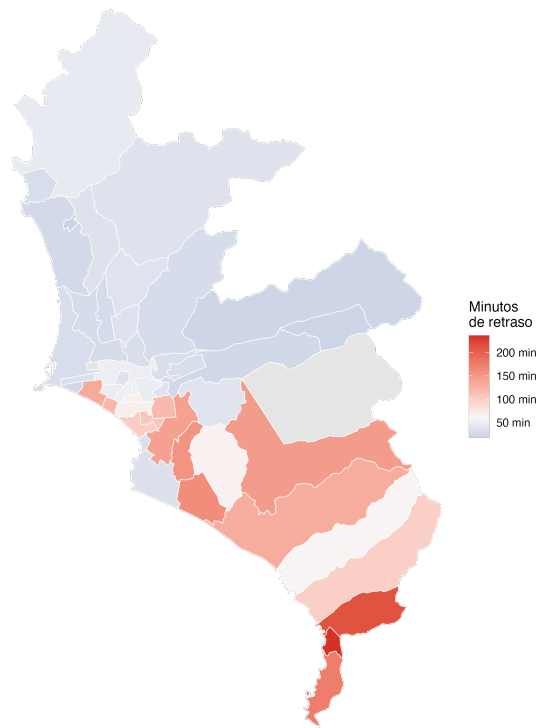


Figura 2: Ausentismo observado frente al ausentismo contrafactual estimado por categoría de retraso. La diferencia entre ambas barras representa el exceso de ausentismo atribuible al retraso. Basado en 26,419 mesas (90.3% del total esperado).

Estimamos que las fallas logísticas impidieron ejercer el voto a aproximadamente **32,192** ciudadanos en Lima y Callao (Figura 2).

4.4. Distribución geográfica

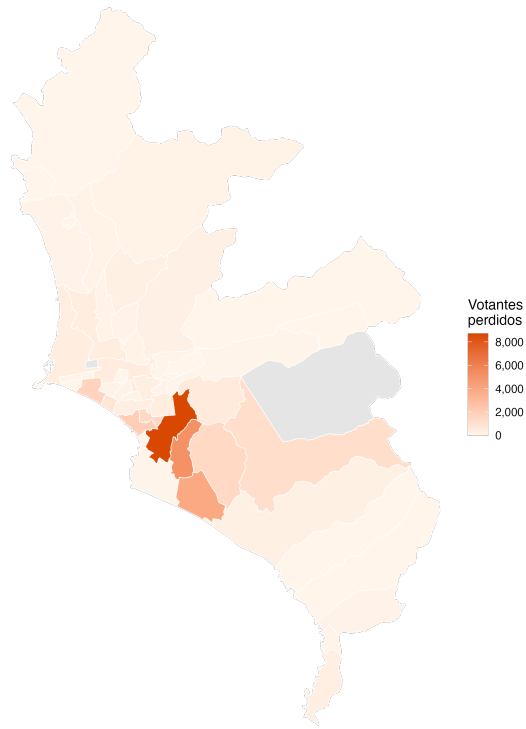
Retraso promedio en apertura de mesas por distrito
Lima Metropolitana y Callao — Elecciones Generales 2026



Fuente: Actas ONPE 2026 I Autopsia Electoral ONPE 2026

Figura 3: Retraso promedio en apertura de mesas de sufragio por distrito. Lima Metropolitana y Callao, Elecciones Generales 2026.

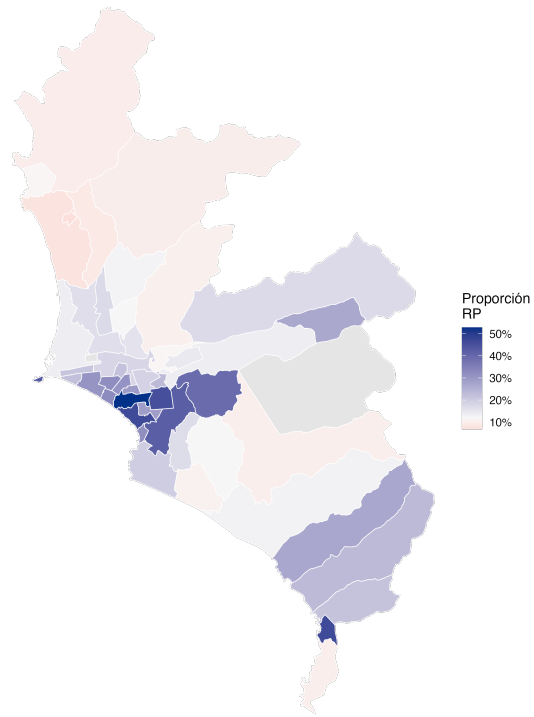
Votantes que no pudieron sufragar por distrito
Lima Metropolitana y Callao — Elecciones Generales 2026



Fuente: Actas ONPE 2026 | Autopsia Electoral ONPE 2026

Figura 4: Número estimado de votantes que no pudieron sufragar por distrito, atribuibles a los retrasos en apertura de mesas.

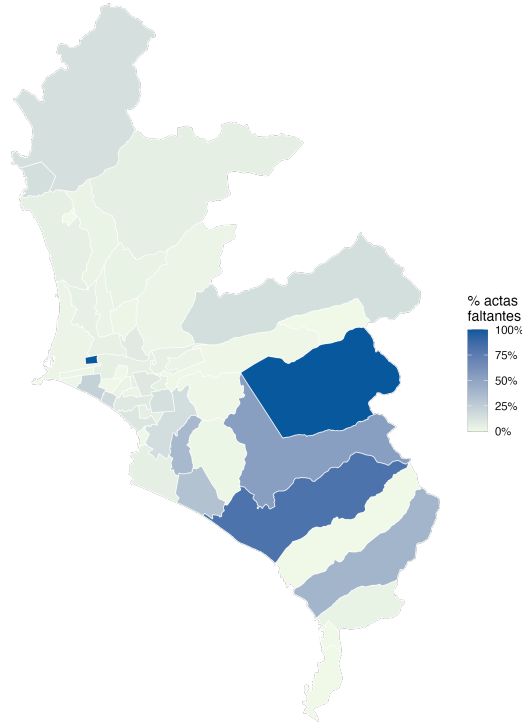
Fortaleza electoral de RP (Renovación Popular) por distrito
Lima Metropolitana y Callao — Elecciones Generales 2026



Azul = mayor concentración de votos RP. Rojo = mayor concentración de votos JPP.
Fuente: Actas ONPE 2026 | Autopsia Electoral ONPE 2026

Figura 5: Concentración de votos a favor de Renovación Popular por distrito. Los distritos con mayor apoyo a López Aliaga coinciden geográficamente con los de mayores retrasos.

Actas aún no disponibles por distrito
 Los distritos con más actas faltantes coinciden con las zonas de mayores retrasos



Fuente: Actas ONPE 2026 scrapeadas vs. total esperado por distrito | Autopsia Electoral ONPE 2026

Figura 6: Porcentaje de actas de mesa aún no disponibles por distrito. Los distritos con más actas faltantes coinciden con los de mayores retrasos, lo que sugiere que las estimaciones actuales subestiman el impacto total.

Las Figuras 3–6 muestran la distribución geográfica del shock. Los retrasos se concentran en Lima Sur, Lurín, Pachacámac, San Juan de Miraflores y Villa El Salvador. Estos mismos distritos presentan los mayores niveles de ausentismo inducido estimado y, de manera significativa, las mayores proporciones de actas aún no disponibles. La coincidencia geográfica entre retrasos, votantes perdidos y actas faltantes constituye evidencia descriptiva adicional de que la estimación actual es conservadora.

4.5. Imputación de votos

Para estimar cómo habrían votado los ciudadanos que no pudieron sufragar, adoptamos el supuesto más parsimonioso disponible: los votantes ausentes habrían votado en las mismas proporciones que los votantes observados en su misma mesa de sufragio. Este supuesto, estándar en la literatura de imputación electoral (King et al., 2001), no requiere ninguna asunción sobre comportamiento diferencial y opera al nivel más granular posible, la mesa individual.

Cuadro 3: Votos imputados a los candidatos principales bajo el supuesto proporcional

Candidato	Votos imputados
Rafael López Aliaga, Renovación Popular (RP)	11,529
Roberto Sánchez, Juntos por el Perú (JPP)	764

5. Verificaciones de robustez

5.1. Variación dentro del distrito

La primera verificación utiliza únicamente la variación entre mesas del mismo distrito (Figura ??). Este estimador, equivalente a efectos fijos de interacción distrito×año, es el más exigente disponible y descarta la posibilidad de que el efecto sea atribuible a diferencias estructurales entre distritos.

5.2. Sensibilidad de las preferencias de los votantes ausentes

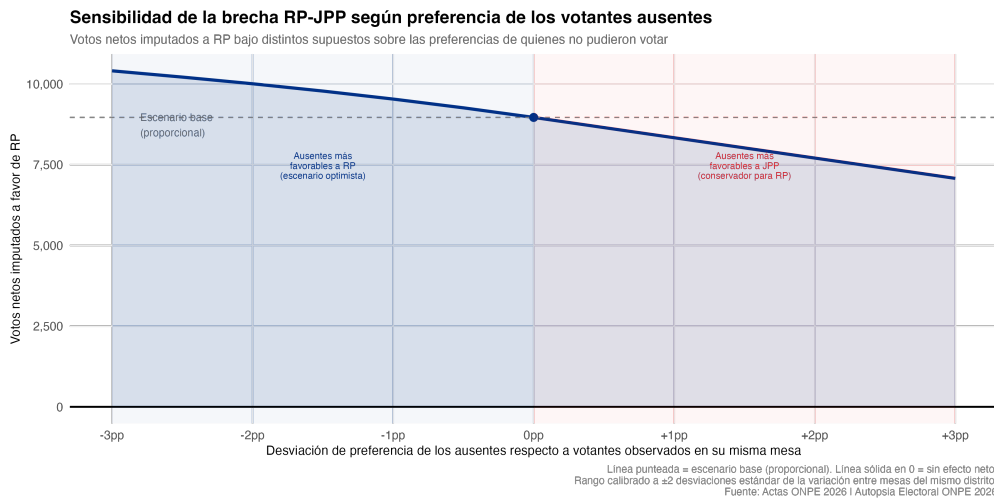


Figura 7: Votos netos imputados a favor de RP bajo distintos supuestos sobre las preferencias de los votantes ausentes. El rango evaluado corresponde a ± 2 desviaciones estándar de la variación within-distrito en la proporción de votos a JPP. La estimación es positiva para RP en todo el rango.

La segunda verificación parametriza la desviación δ entre la preferencia observada en la mesa y la preferencia de los ausentes, siguiendo el enfoque de análisis de sensibilidad de Rosenbaum (2002). El rango de δ está calibrado empíricamente a ± 2 desviaciones estándar de la variación within-distrito en la proporción de votos a JPP. **El resultado es positivo para RP en todos los escenarios evaluados** (Figura 7).

6. Discusión y limitaciones

Cobertura parcial. El análisis cubre el 90.3% de las mesas esperadas. Las actas faltantes se concentran en los distritos más afectados, lo que implica sesgo hacia la subestimación. Las estimaciones deben interpretarse como límite inferior del impacto total. Conforme se porcesen más mesas de los distritos afectados, se espera que esto incremento el total de votantes cuyo derecho a elegir fue vulnerado y el impacto que esto pudo tener en el margen final de la elección presidencial.

Supuesto de preferencias. El supuesto de proporcionalidad es conservador pero imperfecto. La verificación de robustez muestra que las conclusiones son insensibles a desviaciones dentro del rango empíricamente plausible.

Causalidad residual. Pese al diseño de efectos fijos, no podemos descartar completamente que otros factores de 2026 correlacionados con el retraso hayan incidido en el ausentismo. Sin embargo, la naturaleza del shock, un incumplimiento de proveedor, reduce considerablemente esta preocupación.

7. Conclusión

Las fallas logísticas de la ONPE el 12 de abril de 2026 tuvieron consecuencias medibles, estadísticamente significativas y geográficamente concentradas sobre la participación ciudadana. Este trabajo estima que dichas fallas resultaron en aproximadamente **32,192** ciudadanos que no pudieron ejercer su derecho al voto, con un impacto neto estimado de **10,765** votos a favor de Rafael López Aliaga sobre Roberto Sánchez. Este resultado es robusto a distintas especificaciones del modelo, a la variación dentro del distrito, y a supuestos alternativos sobre las preferencias de los votantes ausentes.

Código y datos disponibles en: github.com/MathieuR04/autopsy_onpe2026